L'oscillation décrite se place à la fin de la période Atlantique dans la chronologie des temps post glaciaires. La plateforme marine présente résulte ainsi d'une succession de petits décapages à chaque variation du niveau marin. Le sommet de l'oscillation atlantique de la plage de la Jerra se place un peu au dessus des hautes mers actuelles alors que sur les cotes françaises (TERS M. 1973) il se place nettement au dessous. Faut-il voir dans ce fait la persistance d'une tendance au soulèvement de la côte asturienne?

BONYFAY, E. & MARS, P. (1959).—Le Tyrrhénien dans le cadre de la chronologie quaternaire méditérranéenne. *Bull. Soc. géol. France*, 7e sér., t. 1, pp. 62-78

FAIRBRIDGE, Rh. W. (1961).—Eustatic changes in sea level. *Physics and Chem. Earth*, vol. 4, pp. 99-185.

MARY, G. (1968).—Datation de la plage fossile de Xivares (Espagne). *C. R. Acad. Sc. París*, t. 266, ser. D, pp. 1941-1942.

——— (1971 a).—Les formations quaternaires de la côte asturienne (Espagne) entre Ribadesella et Comillas. *Bull A. F. E. Q.*, fasc. 2, pp. 111-118.

——— (1971 b).—Les hautes surfaces d'abrasion marine de la côte asturienne (Espagne). In Histoire structurale du Golfe de Gascogne, V. 5, p. 1-12, *Ed. Technip.*

MORNER, N. A. (1969).—The late quaternary history of the Kattegat Sea and the Swedish West coast. *Sveriges Geol. Unders.*, vol. 63, n° 3, 487 pp.

REGUANT, S. & TRUYOLS, J. (1968).—El *Nummulites* aff. *biedai* de Cabo Oriambre (San Vicente de la Barquera, Santander) y su situación estratigráfica. *Brev. Geol. asturica*, año XII, n.° 2, pp. 1-4.

TERS, M. (1973).—Les variations du niveau marin depuis 10.000 ans, le long du littoral atlantique français. *Bull. A. F. E. Q.*, Suppl. n.° 36, pp. 114-135.

F. Soto (*).—**Metriophyllum album** n. sp. (COELENTERATA, RUGOSA) DEL DEVONICO INFERIOR DE LA CORDILLERA CANTABRICA (NW DE ESPAÑA).

Metriophyllum EDWARDS, M. & HAIME, J., 1850

Especie tipo.—*M. bouchardi* EDWARDS, M. & HAIME, J., 1851, p. 318

Metriophyllum album n. sp.

figs. 1-6

M a t e r i a l.—48 ejemplares totalmente silicificados. Holotipo DPO 7308 y 47 paratipos DPO 7309 - 7355, procedentes del estrato y localidad típicos. Los paratipos DPO 7352 - 7355, han sido empleados para realizar secciones.

Estrato y localidad típicos.—Paquete de margas abigarradas alternando con delgados bancos de pizarras muy alterados, de la base de la Formación Moniello (Emsiense Superior). Calle recientemente abierta en el pueblo de Piedras Blancas (Avilés, prov. de Oviedo), yacimiento K - 28. Coordenadas en el Mapa Topográfico del Instituto Geográfico y Catastral de España a escala 1:50.000, Hoja n.° 13 (Avilés) x = 2° 17' 13", y = 43° 33' 42".

(*) Departamento de Paleontología. Facultad de Ciencias. Universidad de Oviedo.

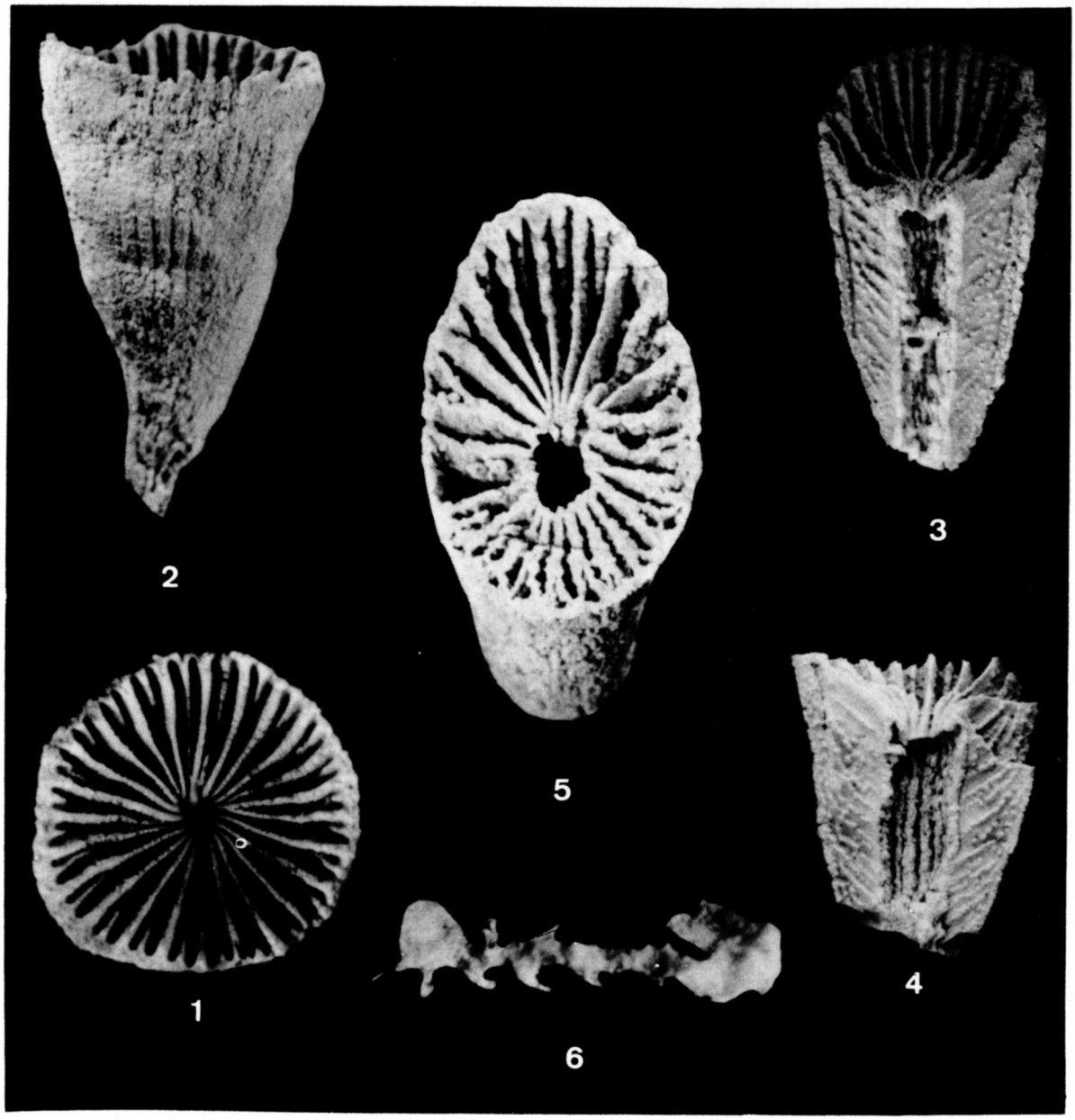

Fig. 1.—Holotipo DPO 7308. Vista oral mostrando la disposición de los septos de dos órdenes. × 3,5.

Fig. 2.—Holotipo DPO 7308. Vista lateral. × 3,5.

Fig. 3.—Paratipo DPO 7353. Vista lateral (sección longitudinal) mostrando las carenas y restos de la pseudocolumela. × 3,5.

Fig. 4.—Paratipo DPO 7354. Idem. × 3,5.

Fig. 5.—Paratipo DPO 7352. Vista latero-oral (sección transversal) mostrando la disposición alternante de las carenas. × 3,5.

Fig. 6.—Paratipo DPO 7355. Vista oral de un septo, mostrando la forma acanalada de las carenas y la disposición de las mismas a uno y otro lado del septo. × 18.

Derivatio nominis.—De albus-a-um, blanco. Alude al color del material, procedente de la localidad y estrato típicos, debido a la silicificación.

D i a g n ó s t i c o.—Rugosos ceratoides a trocoides, de pequeño tamaño, con septos rectos o un poco flexuosos, dispuestos radialmente, cuyo número oscila entre 20 y 24. Indice Longitud/Diámetro (L/D) oscilando entre 1,36 y 1,95. El 77,5 % de los ejemplares están comprendidos en el intervalo 1,48 - 1,71. Carenas robustas,

fuertemente inclinadas hacia el extremo proximal del polípero. Tábulas no observadas. Superficie calicular ocupada por septos de dos órdenes.

Descripción.—Rugosos solitarios, ceratoides a trocoides, cuya longitud máxima raramente sobrepasa 19 mm. y cuyos diámetros oscilan entre 5,3 y 10,6 mm. Superficie externa mostrando usualmente estriaciones longitudinales correspondientes a las posiciones internas de los septos, y 2 a 3 amplias constricciones transversales (fig. 2); más raramente, la superficie externa es lisa.

Muralla gruesa alcanzando un espesor máximo de 0,57 mm.

Cáliz profundo, con taludes abruptamente inclinados, ocupando alrededor de 1/3 de la longitud total del polípero. Fondo de la depresión calicular suavemente cóncavo.

En el cáliz, los septos se proyectan desde la muralla como crestas agudas y cortas, integrando dos conjuntos alternantes de desigual importancia. Los septos menores sobresalen menos que los mayores y, en vista oral, se funden a ellos hacia la mitad de su recorrido (figs. 1, 3, 5). Los septos adelgazan desde la muralla hacia el centro; con frecuencia, el tejido esclerenquimatoso de la muralla cubre casi completamente a los septos menores.

Septos mayores oscilando entre 18-24 en los individuos cuyo índice L/D está comprendido entre 1,48 - 1,71 (75 % del total de los ejemplares). Los septos mayores son rectos o suavemente flexuosos y sus extremos distales están algo engrosados; en el fondo del cáliz, estos engrosamientos tienden a confluir en el eje oral - aboral del polípero limitando una región cónica aguda a lo largo de la línea axial, ocupada por esclerénquima, constituyendo una pseudocolumela estiliforme, la cual ha desaparecido, en parte, en nuestros ejemplares, debido probablemente a la silicificación. En general, la pseudocolumela ocuparía 1/3 de la cavidad central (lumen) (figs. 3 - 4). En el fondo del cáliz y en el espacio subcalicular, los extremos distales de los septos mayores son tangentes lateralmente. El septo cardinal y los periantípodas son algo más bajos y delgados que el resto de los metaseptos, mientras que el septo antípoda y los alares, tienen sensiblemente el mismo tamaño y grosor que los demás metaseptos. El septo antípoda, es algo más largo que el resto de septos y su engrosamiento distal es más acusado que el de los otros elementos septales (fig. 1).

Los septos mayores presentan robustas carenas acanaladas, con la concavidad mirando hacia el extremo oral, inclinadas hacia el extremo proximal del polípero, formando un ángulo con el eje de 43° a 47°. En vista oral, las carenas se desarrollan en posiciones alternantes entre septos adyacentes y entre las caras opuestas de un mismo septo (figs. 5-6). La distancia entre cada dos carenas es, por término medio, de 0,5 mm.

No se han observado ni tábulas, ni disepimentos, ni fases de rejuvenecimiento.

Discusión.—*Metriophyllum album*, difiere de casi todas las especies conocidas hasta el presente del género, por la posesión de carenas robustas, fuertemente inclinadas hacia el extremo aboral del polípero. Unicamente *Metriophyllum devexicarinatum* Pedder, 1967, posee este mismo carácter; en esta especie, sin embargo, se desarrollan sólo septos de un orden y sus carenas son estructuras mucho más delicadas que las de *M. album*. Otros detalles de menor significación separan ambas especies; así la coralita de *M. devexicarinatum*, es más corta y tiene menor diáme-

tro que la de nuestra especie, su muralla es más gruesa y tiene también menor número de septos.

Metriophyllum bouchardi tiene un aspecto, en general, muy parecido al de *M. album*, pero sus carenas son siempre horizontales.

Las carenas de *Metriophyllum carinatum* son estructuras quizás tan robustas como las de nuestra especie, pero son horizontales igual que en *M. bouchardi.*

BARROIS, Ch. (1882).—Recherches sur les terrains anciens des Asturies et de la Galice. *Mem. Soc. Geol. Nord.*, II, 1, pp. 1-630, Láms. 1-20. Lille.

EDWARDS, M. & HAIME, J. (1851).—Monographie des Polypiers fossiles des terrains Paléozoïques. *Arch. Mus. His. Nat. París*, 5, 502 pp., Láms. 1-20. París.

HILL, D. (1949).—Middle Devonian Corals from the Buchan District, Victoria. *Proc. Roy. Soc. Victoria*, 62, pp. 137-164, Láms. 5-9. Victoria.

HOLWILL, F. J. W. (1964).—The Coral genus Metriophyllum EDWARDS & HAIME. *Palaeontology*, (1) 7, pp. 108-123, 6 Figs. text., Láms. 16-19. London.

PEDDER, A. E. H. (1967).—Lower Devonian Streptelasmatid, Lindstroemiid and possible Amplexocariniid corals from Victoria. *Proc. Roy. Soc. Victoria*, (1) 80, pp. 107-129, 8 Figs. text, Láms. 14-16. Victoria.

SIMPSON, G. B. (1900).—Preliminary descriptions of new genera of Palaeozoic Rugose corals. *Bull. N. Y. St. Mus.*, 8 (39), (Palaeont. pap.), pp. 199-222, 45 Abb., Albany.

Carlos J. Fernández & **J. Solans Huguet** (*).—ESTUDIO DE LAS MINERALIZACIONES DE BARITINA DE LA BABIA BAJA (LEON).

Existen unas mineralizaciones formadas principalmente por baritina en la Formación Láncara situadas en la Babia Baja (León) y comprendidas dentro de la Hoja 102, Los Barrios de Luna. Los afloramientos minerales se distribuyen:

— Cuatro afloramientos localizados a unos 500 metros al Sur del pueblo de Rabanal; Rabanal 1, Rabanal 2, Rabanal 3, Rabanal 4.

— Un afloramiento al Suroeste del pueblo de Villasecino, Villasecino 1, al que se llega por un camino que parte del Kilómetro 34 de la carretera comarcal León-Villablino.

— Tres afloramientos situados al Este del pueblo de Riolago, Riolago 1, Riolago 2, Riolago 3.

— Cuatro afloramientos en las proximidades del pueblo de Torre de Babia, Torre de Babia 1, Torre de Babia 2, Torre de Babia 3, Torre de Babia 4.

Las mineralizaciones citadas son por lo general de poca extensión y longitud, las cuales han sido parcialmente explotadas exceptuando la que está al Este de Riolago, señalada como Riolago 2, como así lo demuestra la presencia de galerías, calicatas y escombreras, restos de pequeñas labores mineras. Actualmente no hay ninguna en fase de explotación.

(*) Departamento de Cristalografía y Mineralogía. Facultad de Ciencias. Universidad de Oviedo.